



Foto 1.- Aspecto de la serie de la alternancia de pi-zarras-grauvacas (CA_1).



Foto 10.- Foto de detalle del mismo afloramiento que la foto anterior, obsérvese la disposición de S_0 y S_1 .



Foto 11.- Aspecto de los esquistos de El Cubito
(PC-S) con cuarzo de exudación replegado por
la fase II.



Foto 12 Aspecto de las metabasitas intercaladas en
la Unidad de El Cubito.



Foto 13.- Formación de la Umbria (PC).



Foto 14.- Metavulcanitas ácidas (PC_2 - CA_1C) de aspecto masivo ¿lavas?.



* SIN UBICACIÓN EN EL PLANO DE SITUACIÓN DE MUESTRAS.
NI EN MCC1.

Foto 15.- Aspecto de las filitas grises (PC₂-CA₁f).



Foto 16.- Metabasitas masivas (diabasas o lavas) de
afinidad andesítica (PC_2 - CA_1 a).



Foto 17.- Roca mezcla (PC_2 - CA_1 v) foto tomada en la
corta de Mina Maria Luisa.



Foto 18.- Roca de silicatos cárnicos (PC_2-CA_1) en el campo y cartografía va asociada con las anteriores.



Foto 19.- Calizas marmóreas (PC_2 - CA_1 c) cantera en el
camino a Navahermosa.



Foto 2.- Aspecto de las espilitas (CA_2).

*SIN UBICACIÓN EN EL PLANO DE SITUACIÓN DE MUESTRAS,
NI EN FICHAS MCC1,



Foto 20.- Aspecto de detalle de los mármoles (PC_2 - CA_1 c). Se observan niveles filíticos.



Foto 21.- Aspecto uniforme de las dolomías de Aracena (PC₂-CA₁d).



Foto 22.- Aspecto de los Gneises cuarzo-feldespáticos
(PC₂e).



Foto 23.- Ortoanfibolitas (PC₂₇A).

*SIN UBICACIÓN EN EL PLANO DE SITUACIÓN DE MUESTRAS.
NI EN MCC1.



Foto 24.- Aspecto del granito anatéxico, (PC₂ Σ).

Obsérvese la disyunción en bolos.



Foto 25.- Aspecto de los gneises de Fuente del Oro

(PC₂₇) en la foto se señala un nivel de cuarcitas negras.



Foto 26.- Aspecto de las rocas de silicatos cárnicos
(PC_2 KCx) comparar con la foto 18.



Foto 27.- Aspecto de los mármoles con diópsido y fersterita, comparar con la foto 19.



Foto 28.- Anfibolitas de Acebuches de grano grueso
(S-D $\overline{\gamma}$ A₁).



Foto 29.- Anfibolitas de Acebuches de grano fino
(S-D $\tilde{\gamma}$ A₂) se puede observar un pliegue de
fase III.



Foto 3.- Pizarras arenosas del Devónico-Carbonífero
(D₃-H^A).

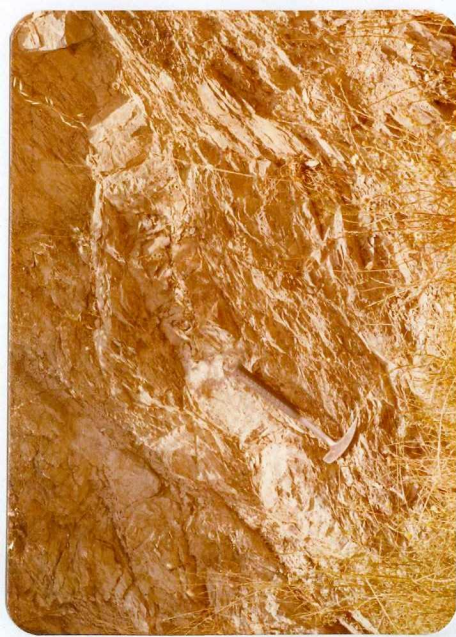


Foto 30.- Formación Pulo do Lobo (S-D₃) esquistos con bancos esporádicos de cuarcitas.



Foto 31.- Foto panorámica de la formación Pulo do
Lobo, los niveles cuarcíticos van seña-
lados con flechas (S-D_{3q})

*SIN UBICACIÓN EN EL PLANO DE SITUACIÓN DE MUESTRAS.
NI EN MCC1.



Foto 32.- Formación Ribera de Limas, (D_3 - H^A) grauva-
cas cuarzosas.



Foto 33.- Ortogneis de Gil-Márquez (b y $\gamma \gamma^2$)



Foto 34.- Granito alterado ($\frac{b}{x}$ y²).



Foto 35.- Aspecto de detalle de los pórfidos graníticos ($\frac{b}{p}$ y 2).



Foto 36.- Aspecto de detalle de las dioritas ($b\eta^2$).

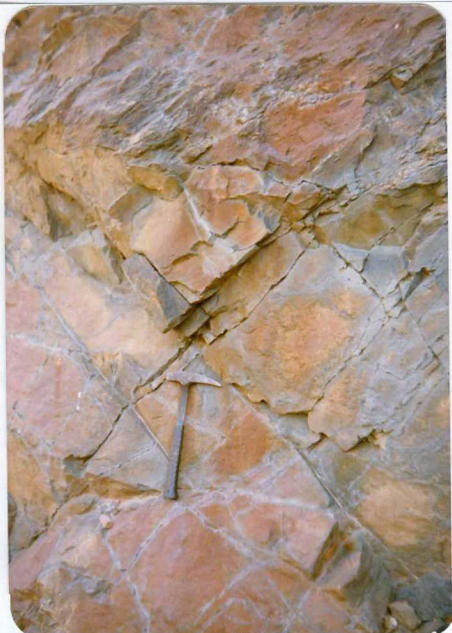


Foto 37.- Aspecto de las diabasas en la corta de Mi-
na María Luisa. ($\frac{b}{p} \in^2$).



Foto 38.- Diabasas, mismo afloramiento de la foto anterior.



Foto 39.- Travertino (Q_{tr}) Peña de Arias Montano.

(D₃-H^A). •



Foto 4.- Conglomerados del Devónico-Carbonífero Inferior (D₃-H^Acg).



Foto 40.- Aspecto de detalle del travertino (Q_{tr}).



Foto 41.- Pliegue de fase I.



Foto 42.- Nivel más silíceo dentro de las dolomías
boudinado y aparentemente rotado.



Foto 43.- Pliegue de fase II en la Unidad de El Cubito.



Foto 44.- Micropliegues de fase II.



Foto 45.- Cierre perianticinal de la antiforma Fuenteheridos-La Umbría (fase III).



Foto 46.- Pliegue retroverjente de geometría kink
(fase IV).

* SIN UBICACIÓN EN EL PLANO DE SITUACIÓN DE NUESTRAS.
NI EN FICHAS MCC1.



Foto 5.-Aspecto de las pizarras del Ordovicico (O_{1-2})



Foto 6- Grauvacas moscovíticas del Ordovícico (O₂₋₃)



Foto 7.- Filitas y cuarcitas grafitosas ($S_1^A - S_1^B$)
pliegue de la fase III.



Foto 8.- Tramos microconglomeráticos de la base del
flysch (S_{1-2}^{B-B} Dp-cg)

*SIN UBICACIÓN EN EL PLANO DE SITUACIÓN DE MUESTRAS,
NI EN MCC1



Foto 9.- Aspecto del flysch devónico (D_2-H^A).